



## (12)发明专利

(10)授权公告号 CN 104935256 B

(45)授权公告日 2017.12.19

(21)申请号 201510379436.0

研究.《微电子学》.2006,第36卷(第1期),第30–32页.

(22)申请日 2015.07.01

Zhiqiang zhang et al.A Directional Inline-Type Millimeter-Wave MEMS Power Sensor for GaAs MMIC Applicaitons.《Journal of Microelectromechanical Systems》.2015,第2卷第253–255页.

(65)同一申请的已公布的文献号  
申请公布号 CN 104935256 A

Juzheng Han et al.Third-order Intermodulation of an MEMS Clamped-Clamped Beam Capacitive Power Sensor Based on GaAs Technology.《IEEE Sensor Journal》.2015,第15卷(第7期),第3645–3646页.

(43)申请公布日 2015.09.23

Zhaqiang Zhang et al.Suspended Thermopile for Microwave Power Sensor Based on Buik MEMS and GaAs MMIC Technology.《IEEE SENSOR JOURNAL》.2015,第15卷(第4期),第2019–2020页.

(73)专利权人 东南大学

审查员 李思彤

地址 211134 江苏省南京市江宁区汤山街道鹤龄社区墓地57号

权利要求书1页 说明书5页 附图2页

(72)发明人 廖小平 韩居正

(74)专利代理机构 南京瑞弘专利商标事务所  
(普通合伙) 32249

代理人 杨晓玲

放大,电路具有多功能。

(51)Int.Cl.

H03B 19/14(2006.01)

(56)对比文件

WO 2014169242 A1,2014.10.16,

CN 102735934 A,2012.10.17,

CN 102735933 A,2012.10.17,

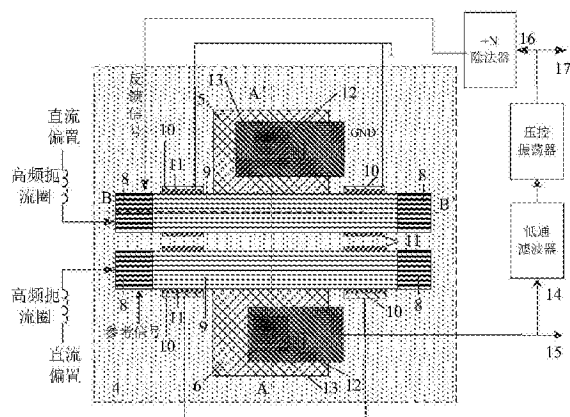
廖小平.0.18um射频SOI LDMOS功率器件的

(54)发明名称

砷化镓基低漏电流双固支梁开关双栅倍频器

(57)摘要

本发明的GaAs基低漏电流双固支梁开关双栅HEMT倍频器,由GaAs衬底,增强型HEMT,外接的低通滤波器,压控振荡器,除法器、高频扼流圈构成。两个固支梁开关悬浮在两个栅极上,作为参考信号和反馈信号的输入,固支梁开关下拉电压设计为HEMT阈值电压,在直流偏置下控制HEMT的导通。两个固支梁开关均断开时,栅电压为0,没有沟道,HEMT截止,有利于减小栅极漏电流。两个固支梁开关均下拉闭合与栅极接触时,二维电子气沟道形成,HEMT导通,参考信号和反馈信号通过HEMT放大,漏极输出经低通滤波器、压控振荡器以及除法器反馈循环后,得到倍频信号。只一个固支梁开关闭合时,可实现对选通信号的单独



1. 一种砷化镓基低漏电流双固支梁开关双栅倍频器，其特征在于该倍频器的HEMT为生长在GaAs衬底(1)上的增强型HEMT，包括本征GaAs层(2)，本征AlGaAs层(3)，N+AlGaAs层(4)，源极(5)，漏极(6)，栅极(7)，锚区(8)，固支梁开关(9)，下拉极板(10)，绝缘层(11)，通孔(12)，引线(13)；在GaAs衬底(1)上有本征GaAs层(2)，本征GaAs层(2)上有本征AlGaAs层(3)，本征AlGaAs层(3)上有N+AlGaAs层(4)，源极(5)，漏极(6)位于两个固支梁开关(9)的两侧，源极(5)接地，两个栅极(7)并列设置，与两个固支梁开关(9)一一对应，固支梁开关(9)的两端固定在锚区(8)上，固支梁开关(9)的中部悬浮在栅极(7)之上，下拉极板(10)设置在锚区(8)和栅极(7)之间，下拉极板(10)接地，绝缘层(11)覆盖在下拉极板(10)之上，直流偏置通过高频扼流圈和锚区(8)作用在固支梁开关(9)上，固支梁开关(9)的下拉电压设计为HEMT的阈值电压；引线(13)分别通过通孔(12)接本征GaAs层(2)；

HEMT漏极(6)输出信号有两种不同的工作方式，一种是选择第一端口(14)输入至低通滤波器，低通滤波器输出接入压控振荡器，压控振荡器输出通过第三端口(16)接入除法器，除法器输出信号作为反馈信号通过锚区(8)加载到一个固支梁开关(9)上，构成反馈回路，参考信号通过锚区(8)加载到另一个固支梁开关(9)上，HEMT漏极(6)输出信号的另一种工作方式是选择第二端口(15)直接输出放大信号；

当直流偏置小于下拉电压，两个固支梁开关(9)均不与栅极(7)接触，开关断开时，栅电压为0，HEMT截止，能够有效的减小栅极漏电流，降低功耗。

2. 根据权利要求1所述的砷化镓基低漏电流双固支梁开关双栅倍频器，其特征在于，固支梁开关(9)的闭合或断开通过直流偏置控制，当两个固支梁开关(9)均在达到或大于下拉电压的直流偏置下实现下拉，与栅极(7)接触，开关闭合时，在栅电压的作用下，形成二维电子气沟道，HEMT导通，参考信号和反馈信号通过HEMT实现相乘，漏极(6)输出包含两信号的相位差信息，选择第一端口(14)输入低通滤波器，滤除高频部分，输出包含相位差信息的直流电压，直流电压作为控制电压输入压控振荡器，压控振荡器的输出频率被调节，调节频率后的信号经第三端口(16)传输至除法器，除法器输出信号作为反馈信号加载到固支梁开关(9)上，环路循环反馈的结果是反馈信号与参考信号的频率相等，压控振荡器第四端口(17)输出频率 $f_o$ 为参考信号频率的N倍： $N \times f_{ref}$ ，实现参考信号的倍频；

当只有一个固支梁开关(9)闭合，另一个固支梁开关(9)处于断开状态时，闭合的固支梁开关(9)下方形成二维电子气沟道，断开的固支梁开关(9)下方形成高阻区，沟道与高阻区串联的结构有利于提高HEMT的反向击穿电压，只有闭合的固支梁开关(9)上的选通信号可以通过HEMT放大，放大信号经第二端口(15)输出，当只有加载参考信号的固支梁开关(9)闭合时，参考信号通过HEMT放大，第二端口(15)输出参考信号频率 $f_{ref}$ 的放大信号，当只有加载反馈信号的固支梁开关(9)闭合时，反馈信号通过HEMT放大，反馈信号频率为压控振荡器输出频率 $f_o$ 经除法器后除以N的结果： $f_o/N$ ，第二端口(15)输出频率为 $f_o/N$ 的放大信号，断开的固支梁开关(9)也有利于减小栅极漏电流，降低功耗。

## 砷化镓基低漏电流双固支梁开关双栅倍频器

### 技术领域

[0001] 本发明提出了GaAs(砷化镓)基低漏电流双固支梁开关双栅HEMT(高电子迁移率晶体管)倍频器,属于微电子机械系统的技术领域。

### 背景技术

[0002] 倍频器是频率合成器的一种,它能将一参考信号经过功能电路的作用,产生参考信号频率整数倍的目标频率信号。利用锁相环和除法器可构成倍频器。倍频器已经成为电子技术、空间技术和通信技术中的一个重要的组成部分。然而,与传统倍频器电路中的MOSFET结构相比,高电子迁移率晶体管HEMT显示出更多的优势,比如更高的电子迁移率,速度更快,效率更高,也能够降低功耗等。另外,MEMS梁结构方便可控,也推动着电路向结构简单,体积变小的方向发展。

[0003] 本发明正式要结合HEMT结构与MEMS技术,提出一种GaAs基低漏电流双固支梁开关双栅HEMT倍频器。

### 发明内容

[0004] 技术问题:本发明的目的是提供一种GaAs基低漏电流双固支梁开关双栅HEMT倍频器,两个栅极位于两个固支梁开关正下方,参考信号和参考信号分别加载在两个固支梁开关上,固支梁开关在电路中控制HEMT的导通,通过对两个固支梁开关的控制以及外接电路的作用,实现对参考信号频率的运算,得到目标频率。

[0005] 技术方案:本发明的砷化镓基低漏电流双固支梁开关双栅倍频器的HEMT为生长在GaAs衬底上的增强型HEMT,包括本征GaAs层,本征AlGaAs层,N+AlGaAs层,源极,漏极,栅极,锚区,固支梁开关,下拉极板,绝缘层,通孔,引线;在GaAs衬底上有本征GaAs层,本征GaAs层上有本征AlGaAs层,本征AlGaAs层上有N+AlGaAs层,源极,漏极位于两个固支梁开关的两侧,源极接地,两个栅极并列设置,与两个固支梁开关一一对应,固支梁开关的两端固定在锚区上,固支梁开关的中部悬浮在栅极之上,下拉极板设置在锚区和栅极之间,下拉极板接地,绝缘层覆盖在下拉极板之上,直流偏置通过高频扼流圈和锚区作用在固支梁开关上,固支梁开关的下拉电压设计为HEMT的阈值电压;引线分别通过通孔接本征GaAs层;

[0006] HEMT漏极输出信号有两种不同的工作方式,一种是选择第一端口输入至低通滤波器,低通滤波器输出接入压控振荡器,压控振荡器输出通过第三端口接入除法器,除法器输出信号作为反馈信号通过锚区加载到一个固支梁开关上,构成反馈回路,参考信号通过锚区加载到另一个固支梁开关上,HEMT漏极输出信号的另一种工作方式是选择第二端口直接输出放大信号。

[0007] 固支梁开关的闭合或断开通过直流偏置控制,当两个固支梁开关均在达到或大于下拉电压的直流偏置下实现下拉,与栅极接触,开关闭合时,在栅电压的作用下,形成二维电子气沟道,HEMT导通,参考信号和反馈信号通过HEMT实现相乘,漏极输出包含两信号的相位差信息,选择第一端口输入低通滤波器,滤除高频部分,输出包含相位差信息的直流电

压,直流电压作为控制电压输入压控振荡器,压控振荡器的输出频率被调节,调节频率后的信号经第三端口传输至除法器,除法器输出信号作为反馈信号加载到固支梁开关上,环路循环反馈的结果是反馈信号与参考信号的频率相等,压控振荡器第四端口输出频率 $f_o$ 为参考信号频率的N倍:N× $f_{ref}$ ,实现参考信号的倍频;

[0008] 当直流偏置小于下拉电压,两个固支梁开关均不与栅极接触,开关断开时,栅电压为0,HEMT截止,能够有效的减小栅极漏电流,降低功耗;

[0009] 当只有一个固支梁开关闭合,另一个固支梁开关处于断开状态时,闭合的固支梁开关下方形成二维电子气沟道,断开的固支梁开关下方形成高阻区,沟道与高阻区串联的结构有利于提高HEMT的反向击穿电压,只有闭合的固支梁开关上的选通信号可以通过HEMT放大,放大信号经第二端口输出,当只有加载参考信号的固支梁开关闭合时,参考信号通过HEMT放大,第二端口输出参考信号频率 $f_{ref}$ 的放大信号,当只有加载反馈信号的固支梁开关闭合时,反馈信号通过HEMT放大,反馈信号频率为压控振荡器输出频率 $f_o$ 经除法器后除以N的结果: $f_o/N$ ,第二端口输出频率为 $f_o/N$ 的放大信号,断开的固支梁开关也有利于减小栅极漏电流,降低功耗。

[0010] 有益效果:本发明的GaAs基低漏电流双固支梁开关双栅HEMT倍频器具有以下显著的优点:

[0011] 1、两个固支梁开关在电路中起到开关的作用,方便控制HEMT的导通。

[0012] 2、固支梁开关结构使电路方便可控,通过对单个固支梁开关的控制,实现对单个信号的处理,使电路多功能化,扩展应用范围。

[0013] 3、HEMT与MEMS技术相结合,使得电路效率提升,功耗降低,结构简单化,体积小型化。

## 附图说明

[0014] 图1为本发明的GaAs基低漏电流双固支梁开关双栅HEMT倍频器的俯视图。

[0015] 图2为图1GaAs基低漏电流双固支梁开关双栅HEMT倍频器的A-A' 向剖面图。

[0016] 图3为图1GaAs基低漏电流双固支梁开关双栅HEMT倍频器的B-B' 向剖面图。

[0017] 图4为图1GaAs基低漏电流双固支梁开关双栅HEMT倍频器两个开关均下拉闭合时的沟道示意图。

[0018] 图5为图1GaAs基低漏电流双固支梁开关双栅HEMT倍频器单个开关下拉闭合时的沟道示意图。

## 具体实施方式

[0019] 本发明的GaAs基低漏电流双固支梁开关双栅HEMT倍频器包括GaAs衬底、增强型HEMT,以及外接的低通滤波器、压控振荡器、除法器、高频扼流圈;其中HEMT生长在GaAs衬底上,从下至上依次为本征GaAs层,本征AlGaAs层,N+AlGaAs层,两个并列的栅极位于N+AlGaAs层之上;另外源极和漏极深入到本征GaAs层。本征GaAs层与本征AlGaAs层形成异质结,栅极与N+AlGAs形成肖特基接触。两个固支梁开关通过锚区分别悬浮在两个栅极正上方。栅极与锚区之间设置有下拉极板,下拉极板接地,绝缘层覆盖在下拉极板之上。

[0020] 参考信号和反馈信号分别通过锚区加载到两个固支梁开关上。直流偏置通过高频

扼流圈和锚区作用在固支梁开关上。高频扼流圈保证直流偏置和交流信号隔开。

[0021] 固支梁开关的下拉电压设计为HEMT的阈值电压。当直流偏置小于下拉电压，两个固支梁开关均处于悬浮断开，不与栅极接触时，栅极电压为0，对于增强型HEMT，肖特基势垒深入到本征GaAs层，本征GaAs层与本征AlGaAs层异质结边界的二维电子气被耗尽，所以HEMT无法导通。

[0022] 当直流偏置达到或者大于下拉电压，两个固支梁开关均下拉闭合与栅极接触时，栅电压即为直流偏置的大小，此时肖特基势垒变窄，二维电子气浓度增加，HEMT导通，参考信号和反馈信号通过HEMT相乘。漏极输出信号包含了参考信号和反馈信号之间的相位差信息。低通滤波器将此信号中的高频分量滤除，并向压控振荡器输送一个直流电压，调节压控振荡器的输出信号的频率。压控振荡器输出信号经过除法器之后，在频率上对应发生1/N的改变，并作为反馈信号，重新输入HEMT，经过环路的作用，反馈信号和参考信号达到锁定，即压控振荡器输出频率除以N后的频率和参考信号频率相等。所以，最终压控振荡器输出的信号频率为参考信号频率的N倍，实现倍频。

[0023] 当只有一个固支梁开关闭合与对应的栅极接触时，闭合的固支梁开关下方形成二维电子气沟道，另一个断开的固支梁下方为高阻区，沟道与高阻区串联的结构能够有效的提高器件的反向击穿电压。只有对应固支梁开关上的选通信号可以通过HEMT放大输出。从而通过对一个固支梁开关的单独控制，实现对单个信号的放大，扩大了电路的应用范围。

[0024] 下面结合附图对本发明的GaAs基低漏电流双固支梁开关双栅HEMT倍频器做进一步解释。

[0025] 如图1所示，本发明的GaAs基低漏电流双固支梁开关双栅HEMT倍频器包括GaAs衬底1，设置在GaAs衬底上的增强型HEMT，外接的低通滤波器，压控振荡器，除法器、高频扼流圈。

[0026] HEMT包括本征GaAs层2，本征AlGaAs层3，N+AlGaAs层4，源极5，漏极6，两个栅极7，锚区8，两个固支梁开关9，下拉极板10，绝缘层11，通孔12，引线13。其中，源极5接地，固支梁开关9通过锚区8悬浮在栅极7上方，两个栅极7与两个固支梁开关9一一对应，下拉极板10设置在固支梁开关9下方，下拉极板10接地。在HEMT结构内部，栅极7与N+AlGaAs层4形成肖特基接触，本征AlGaAs层3与本征GaAs层2形成异质结。对于增强型HEMT，栅电压为0时，异质结界面的二维电子气沟道被肖特基接触耗尽。

[0027] HEMT漏极6输出信号可以选择两种工作方式，一种是选择第一端口14接入低通滤波器，低通滤波器输出接入压控振荡器，压控振荡器输出通过第三端口16接入除法器，除法器的输出信号作为反馈信号通过锚区8接入一个固支梁开关9，参考信号通过锚区8接入另一个固支梁开关。HEMT漏极6输出信号的另一种工作方式是选择第二端口15直接输出放大信号。

[0028] 直流偏置通过高频扼流圈和锚区8作用在固支梁开关上。高频扼流圈保证直流偏置与交流信号隔开。固支梁开关9的下拉电压设计为HEMT的阈值电压，当直流偏置小于下拉电压，固支梁开关不与栅极7接触，开关断开时，栅电压为0，异质结界面没有二维电子气沟道，HEMT截止，能够有效的减小栅极漏电流，降低功耗。

[0029] 当直流偏置达到或大于下拉电压，两个固支梁开关9均下拉与栅极7接触，开关闭合时，在栅电压的作用下，二维电子气在异质结界面聚集，形成沟道，如图4所示，HEMT导通。

参考信号和反馈信号通过HEMT相乘。漏极6输出信号包含了两信号之间的相位差信息,选择第一端口14输入低通滤波器,低通滤波器将漏极输出中的高频分量滤除,向压控振荡器输送一个直流电压,直流电压可以表示为:

$$[0030] \quad U_L = K \cos\left(\frac{(f_{ref} - f_{back})}{2\pi} t + \phi\right) \quad (1)$$

[0031] 其中K为HEMT增益系数,f<sub>ref</sub>为参考信号频率,f<sub>back</sub>为反馈信号频率,φ为固有相位差。压控振荡器在直流电压的控制下,调节输出信号频率的大小。压控振荡器输出频率可以通过以下微分表示式表达:

$$[0032] \quad \frac{1}{2\pi} \frac{df_o}{dt} = K_v U_L = K_v K \cos\left(\frac{(f_{ref} - f_{back})}{2\pi} t + \phi\right) \quad (2)$$

[0033] 其中,f<sub>o</sub>为压控振荡器输出频率,K<sub>v</sub>为压控振荡器灵敏度。经过除法器后,频率变为原来的1/N,并作为反馈信号,重新输入HEMT。也就是:

$$[0034] \quad f_{back} = \frac{f_o}{N} \quad (3)$$

[0035] 经过反馈循环作用,反馈信号的频率最终和参考信号一致。即:

$$[0036] \quad \begin{aligned} f_{back} &= \frac{f_o}{N} = f_{ref} \\ \Rightarrow f_o &= N \times f_{ref} \end{aligned} \quad (4)$$

[0037] 所以,最终压控振荡器第三端口17输出的信号频率为参考信号频率的N倍,实现参考信号的倍频。

[0038] 只有一个固支梁开关9被下拉闭合,另一个固支梁开关9处于悬浮断开状态时,闭合的固支梁开关9下方形成二维电子气沟道,断开的固支梁开关9下方为高阻区,如图5所示,沟道与高阻区串联,有利于提高反向击穿电压。此时,只有闭合的固支梁开关9上的选通信号可以通过HEMT放大,放大信号通过第二端口15输出。当只有加载参考信号的固支梁开关9闭合时,参考信号通过HEMT放大,第二端口15输出频率为f<sub>ref</sub>的放大信号。当只有加载反馈信号的固支梁开关9闭合时,反馈信号频率为压控振荡器频率经过除法器后的结果,即f<sub>o</sub>/N,所以,第二端口15输出频率为f<sub>o</sub>/N的放大信号。从而通过对一个固支梁开关9的单独控制,实现对单个信号的放大,扩大了电路的应用范围。此外,对于断开的固支梁开关9,能够减小栅极漏电流,降低功耗。

[0039] 本发明的GaAs基低漏电流双固支梁开关双栅HEMT倍频器的制备方法如下:

[0040] 1) 在半绝缘P型GaAs衬底;

[0041] 2) 外延生长本征GaAs层约500nm;

[0042] 3) 外延生长本征AlGaAs隔离层约50nm;

[0043] 4) 生长N+型AlGaAs层约20nm,掺杂浓度为 $1 \times 10^{18} \text{ cm}^{-3}$ ,控制厚度与掺杂浓度,使得HEMT管为增强型;

[0044] 5) 生长N+型GaAs层厚约300nm,掺杂浓度为 $3.5 \times 10^{18} \text{ cm}^{-3}$ ;

[0045] 6) 台面腐蚀隔离有源区;

[0046] 7) 生长氮化硅;

- [0047] 8) 光刻氮化硅层,刻出源漏极域,进行N<sup>+</sup>离子注入,形成源极和漏极,去除氮化硅;
- [0048] 9) 涂覆光刻胶,光刻去除电极接触位置的光刻胶;
- [0049] 10) 真空蒸发金锗镍/金;
- [0050] 11) 剥离,合金化形成源、漏欧姆接触电极;
- [0051] 12) 涂覆光刻胶,光刻去除栅极位置的光刻胶;
- [0052] 13) 生长厚度为0.5μm Ti/Pt/Au;
- [0053] 14) 去除光刻胶以及光刻胶上的金属,形成肖特基接触的栅极;
- [0054] 15) 涂覆光刻胶,光刻出引线,下拉极板和固支梁锚区的窗口;
- [0055] 16) 生长一层厚度为0.3μm的Au;
- [0056] 17) 去除光刻胶,形成引线、下拉极板、固支梁的锚区;
- [0057] 18) 沉积绝缘层,应用外延工艺生长0.1μm的Si<sub>x</sub>N<sub>1-x</sub>的绝缘层;
- [0058] 19) 光刻去除多余的绝缘层,仅保留下拉极板上方的绝缘层;
- [0059] 20) 通过旋涂方式形成PMGI牺牲层,然后光刻牺牲层,仅保留固支梁下方的牺牲层;
- [0060] 21) 生长一层用于电镀的底金:蒸发Ti/Au/Ti,作为种子层厚度50/150/30nm;
- [0061] 22) 涂覆光刻胶,光刻出固支梁,锚区和连接线的窗口;
- [0062] 23) 电镀一层金,其厚度为2μm;
- [0063] 24) 去除光刻胶,同时去除光刻胶上的金层;
- [0064] 25) 反刻钛/金/钛,腐蚀种子层,形成固支梁及以及连接线;
- [0065] 26) 去除聚酰亚胺牺牲层,释放MEMS固支梁;
- [0066] 27) 将制备的HEMT与外部电路连接,构成倍频器。
- [0067] 区分是否为该结构的标准如下:
  - [0068] 本发明的GaAs基低漏电流双固支梁开关双栅HEMT倍频器,两个栅极并列设置,两个固支梁开关通过锚区分别悬浮在两个栅极上。参考信号和反馈信号分别通过锚区加载在两个固支梁开关上。固支梁开关的闭合或断开状态通过直流偏置控制,下拉电压设计为HEMT的阈值电压。当固支梁开关断开时,栅电压为0,HEMT截止。当两个固支梁开关均通过直流偏置下拉闭合与栅极接触时,二维电子气沟道形成,HEMT导通,参考信号和反馈信号通过HEMT相乘,漏极输出包含两信号的相位信息,经过低通滤波器,压控振荡器、除法器反馈循环,最终压控振荡器输出参考信号乘以N的频率信号。另外,下拉闭合单个固支梁开关可以实现对单个信号的放大,同时,另一个不被下拉闭合的固支梁开关下方形成高阻区,能有效的提高HEMT的反向击穿电压。

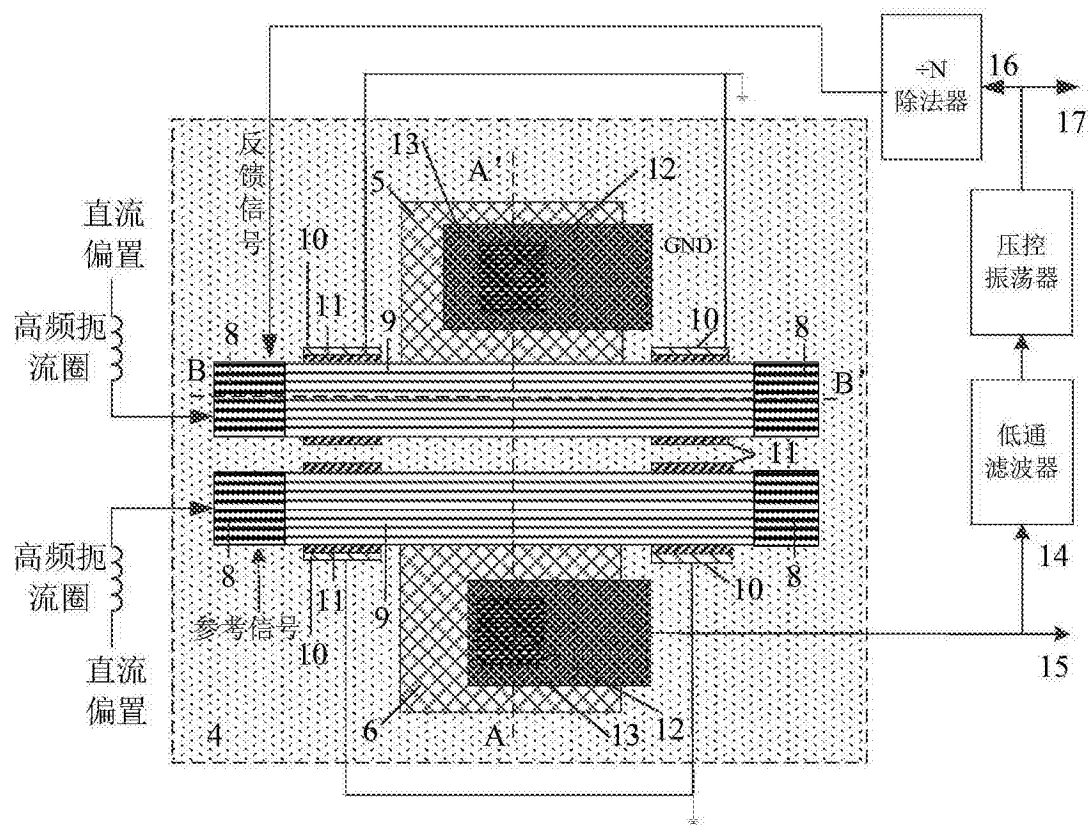


图1

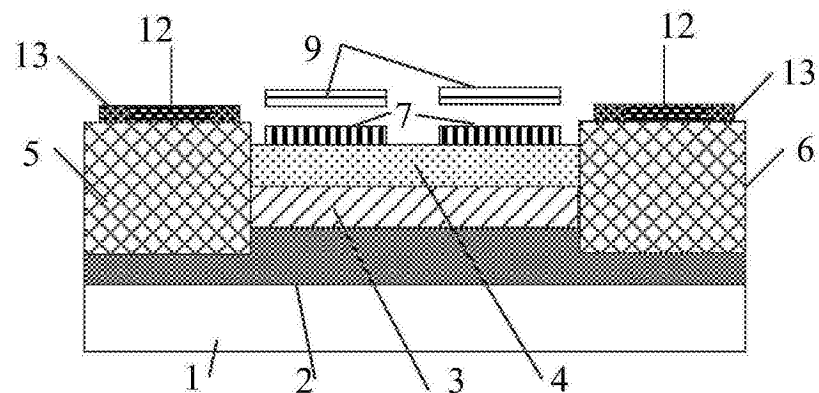


图2

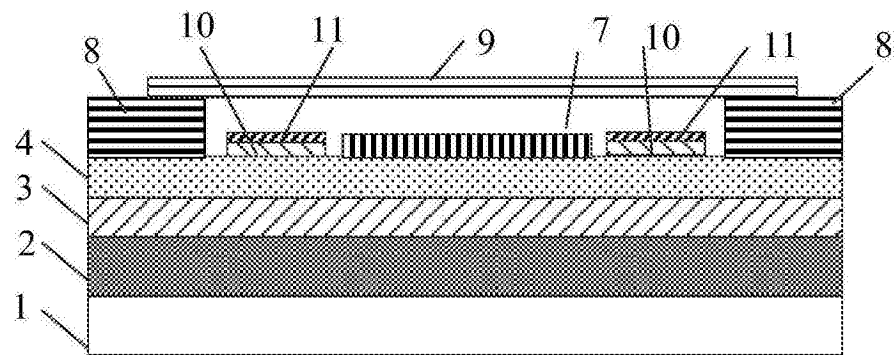


图3

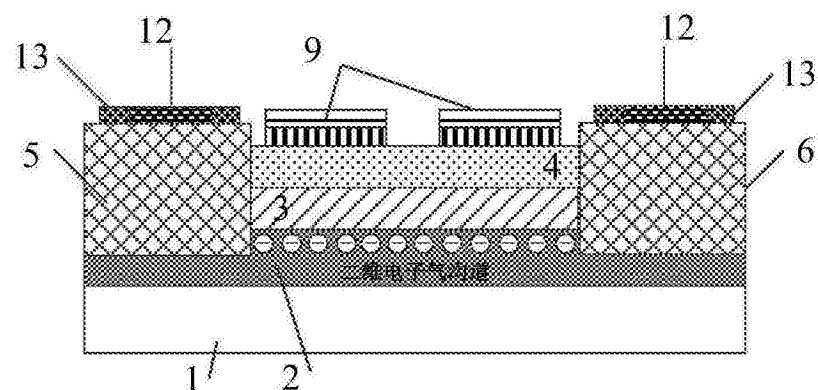


图4

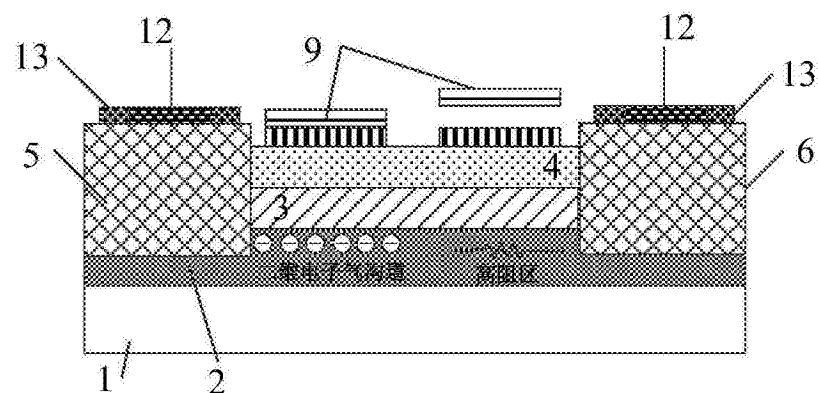


图5